

# LHC-ATLAS実験を用いた MSSM $h/H/A \rightarrow \tau\tau$ の探索

東大理、東大素セ<sup>A</sup>

井上竜一、田中純一<sup>A</sup>、中村浩二<sup>A</sup>、  
浅井祥仁、川本辰男<sup>A</sup>、小林富雄<sup>A</sup>

日本物理学会 2010年秋季大会  
九州工業大学戸畑キャンパス

# 目次

- MSSM h/H/Aについて
- Event Topology
- Selection Criteria
- 現時点でのDATA解析の状況
- 今年のRun( $L=50\text{pb}^{-1}$ )および  
来年のRun( $L=1\text{fb}^{-1}$ )での展望

# Minimal Supersymmetric Standard Model(MSSM)

標準模型に最小限のSUSY粒子を加えた模型

2つのHiggs場が必要

→ 5つのHiggs粒子(中性3つ、荷電2つ)が存在

$$h, H, A, H^{\pm}$$

Tree levelでは

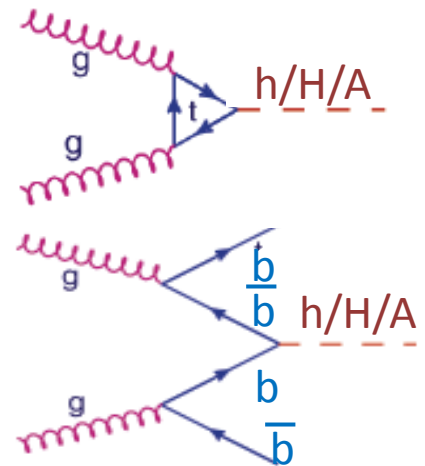
- ・  $\tan\beta$  (2つのHiggs場の真空期待値の比)
- ・  $M_A$  (CP odd Higgsの質量)

の2Parameterで記述できる

# Event Topology

## 生成過程

- Gluon Fusion  
陽子陽子衝突型のLHCでは最も多い過程
- b-quark associated production  
Tan $\beta$ が大きい(>10)とh/H/Aはb-quarkとの結合が強くなる



## 崩壊過程

$$h/H/A \rightarrow \tau\tau \rightarrow \text{lepton, hadron}$$

- $\tau\tau$ への崩壊分岐比は比較的大きい(~10%)
- $\tau\tau \rightarrow l, h$ はQCDの寄与を抑えつつ、統計も得られる
- Massの測定, tau粒子のYukawa coupling測定可能

$\tau \rightarrow$  hadronic  
65%  
 $\tau \rightarrow$  lepton  
35%

# Signal Full simulation sample

Signal ( $A \rightarrow \tau\tau \rightarrow lep, had$ )	X-sec ( $MA=120, TB=40$ )	Generator
Gluon Fusion	18pb	Pythia
b-quark associated production	12pb	Sherpa

## BG Full simulation sample

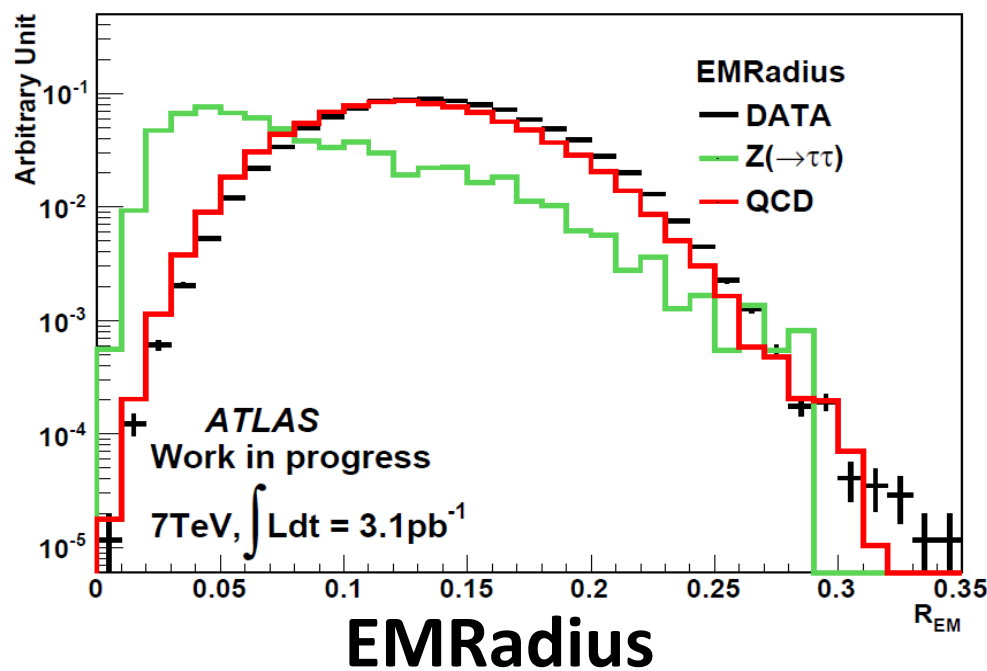
BG	特徴	X-sec	Generator
$Z \rightarrow \tau\tau$	Topologyが同じ、主なBG	1nb (NNLO)	Alpgen
QCD	X-secが非常に大きい	$O(1mb)$	Pythia
W + jet	Wからlep, jetを $\tau$ とミスID	30nb (NNLO)	Alpgen
$t\bar{t}$	lep, $\tau$ + (b-)jetを $\tau$ とミスID	160pb (NLO+NLL)	MC@NLO

DATA	7TeV	3月~8月	Luminosity=3.1pb <sup>-1</sup>
------	------	-------	--------------------------------

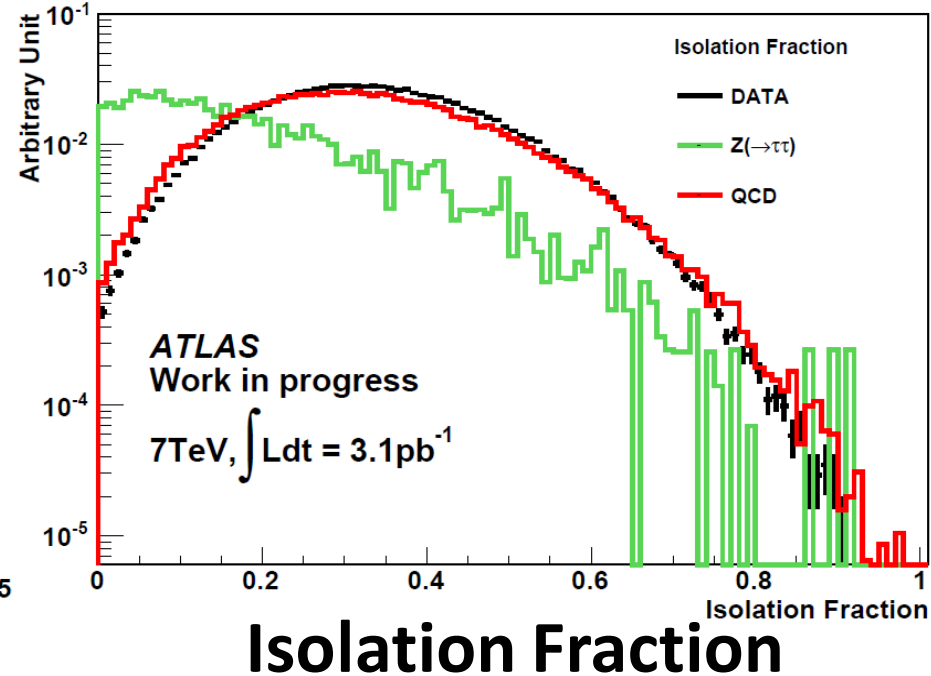
# Tau ID

## Hadronic Tauの特徴

- ・狭い領域にEnergyをdepositする
- ・Isolateしている



EM カロリメータでの  
クラスターの半径



クラスターでの半径0.1~0.2の  
Energy depositの割合

# DATA解析

# MC Normalization

- QCDはDATAを用いて数をNormalizeする  
ShapeはMC
- W,Z,t $\bar{t}$ は数、Shape共にMC

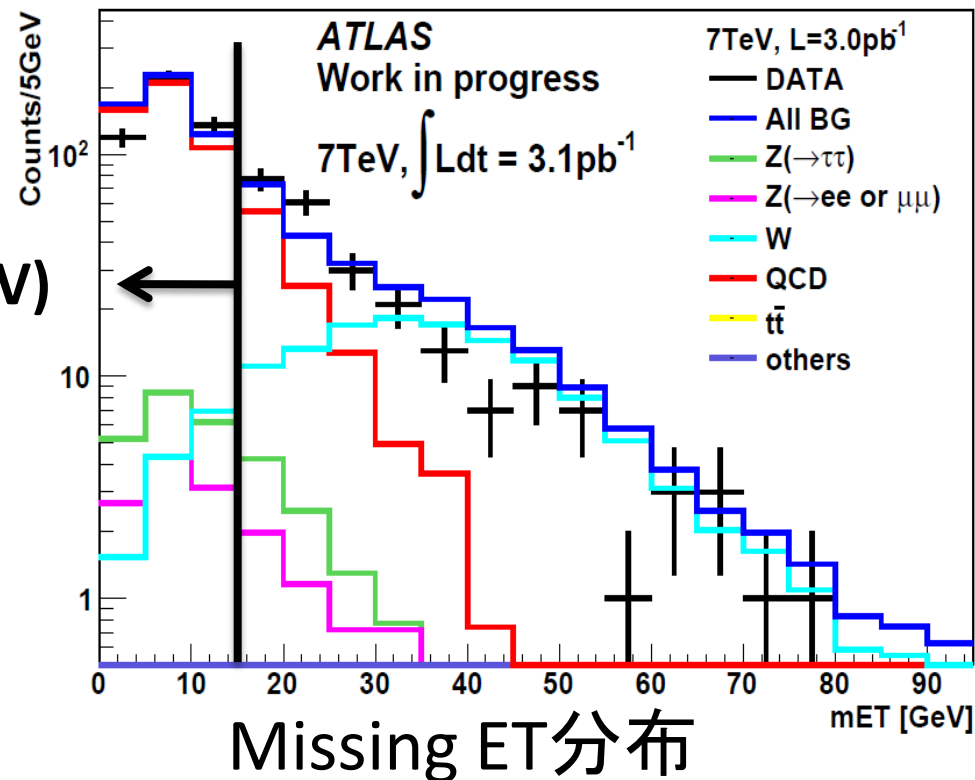
## QCD BG Normalization:

### 1)電荷が逆の

Tau( $P_t > 20 \text{ GeV}$ ), Lepton( $P_t > 15 \text{ GeV}$ )  
が各1つを要求

2)  $m_{ET} < 15 \text{ GeV}$ を要求してQCDを  
enhanceする

3) この時のEvent数の比を  
Normalization factorとする

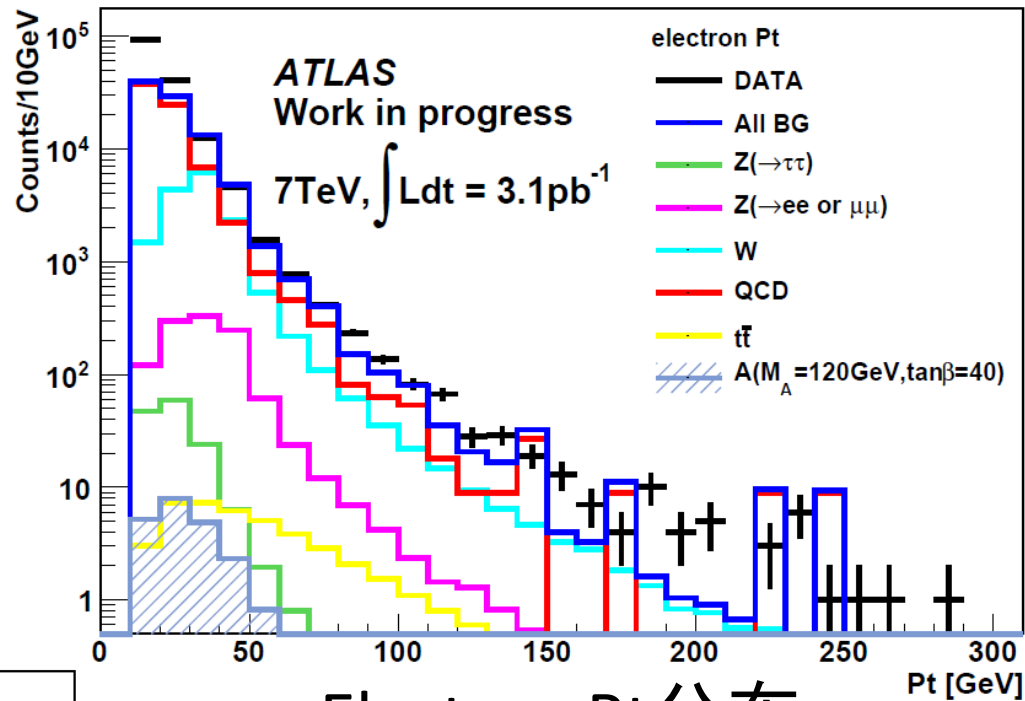


# Selection Criteria

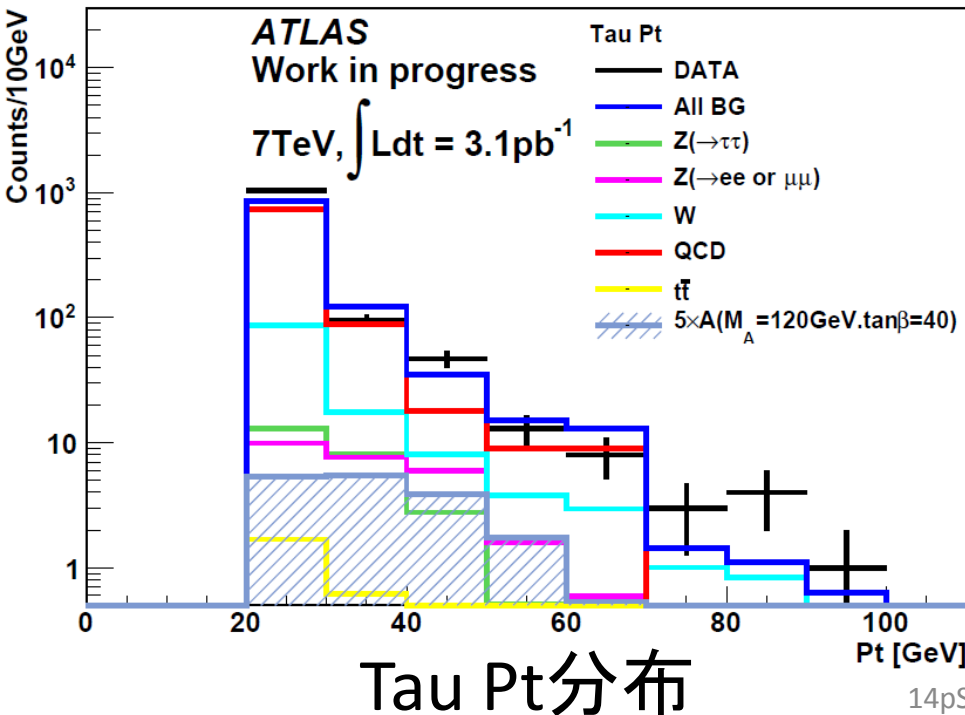
1) Lepton, Tau requirement	電荷が逆なLepton(e, mu)とTauを1つずつ要求
2) Missing ET requirement	横方向消失運動量 > 20GeV
3) Transverse Mass requirement	横方向質量 < 30GeV
4) Visible Mass cut	Mass(Lep, Tau) cut

# Electron channelの解析

# Electron channel



Electron Pt分布



Tau Pt分布

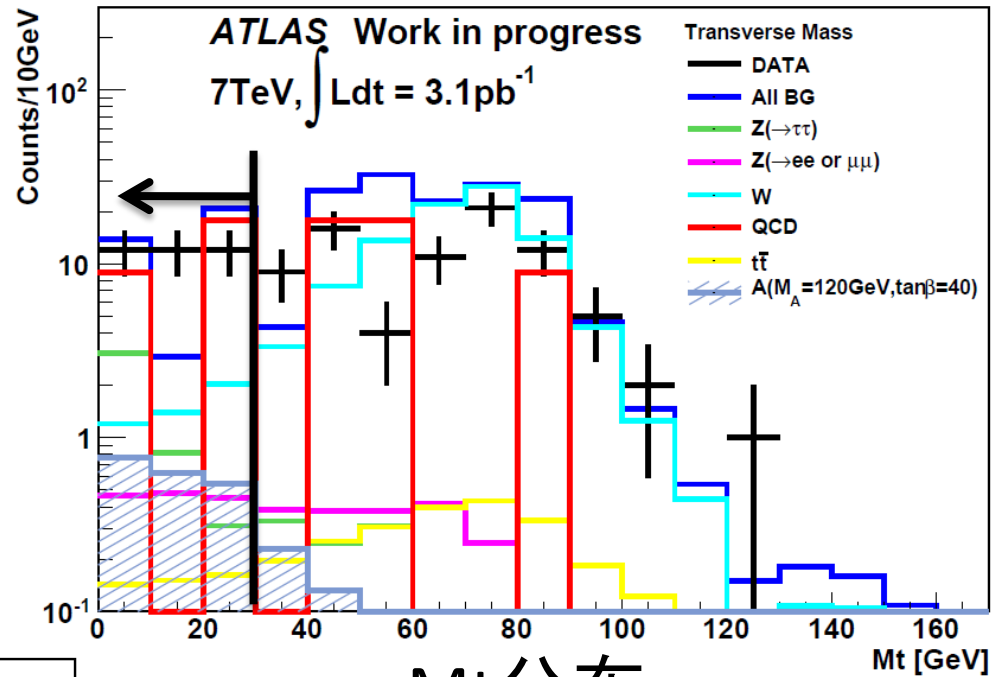
1) Lepton, Tau requirement

2) Missing ET requirement

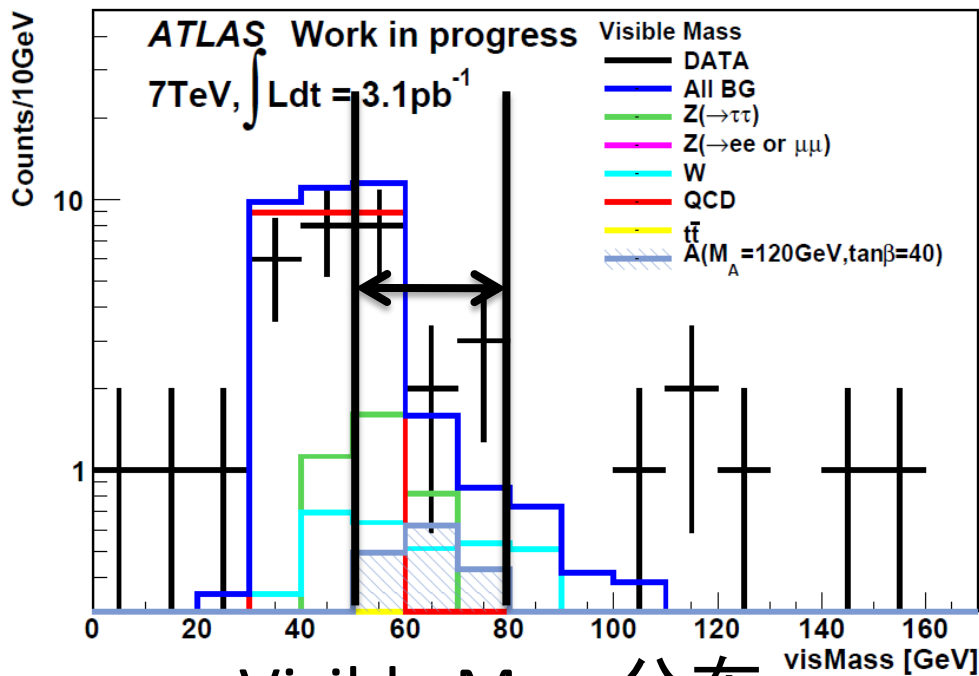
3) Transverse Mass requirement

4) Visible Mass cut

# Electron channel



Mt分布



Visible Mass分布

- 1) Lepton, Tau requirement
- 2) Missing ET requirement
- 3) Transverse Mass requirement
- 4) Visible Mass cut

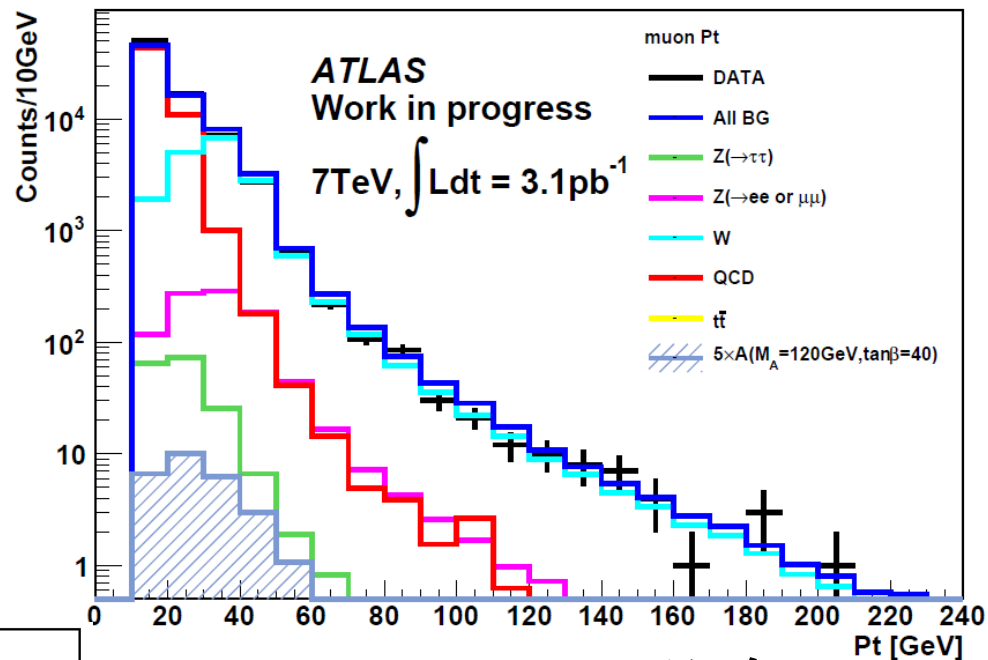
# Cut flow(Luminosity=3.1pb<sup>-1</sup>)

## Electron channel

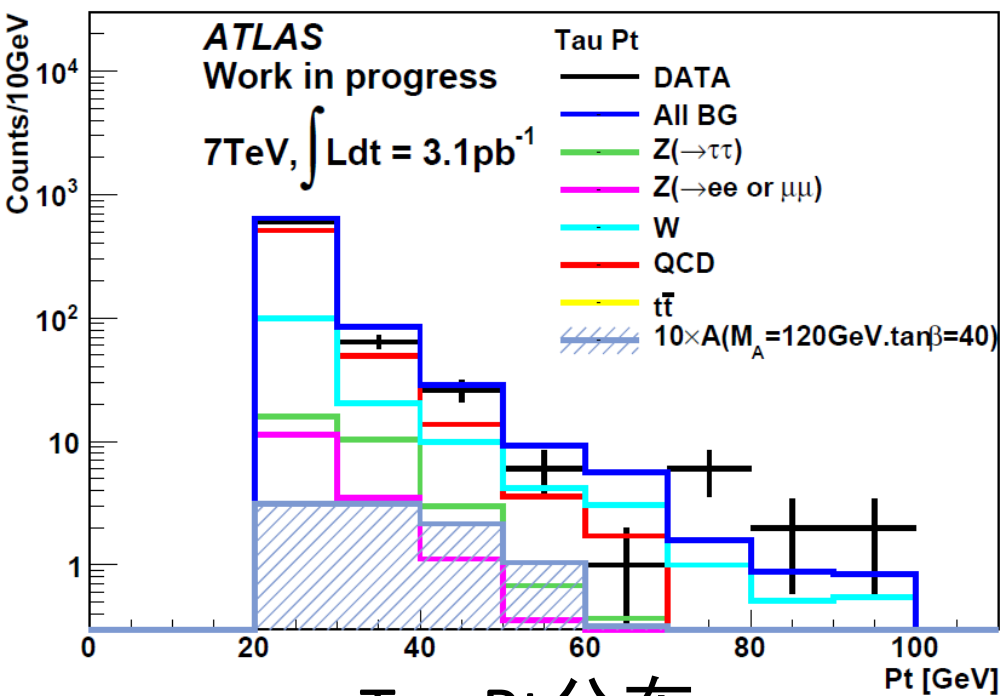
Cut	DATA	Signal	All BG	Z	QCD	W	ttbar
1) Lepton Tau req.	1205 ±35	4.45 ±0.03	1046 ±88	51.0 ±0.6	866 ±88	121.8 ±1.3	4.3 ±0.03
2) Missing ET	117 ±11	1.20 ±0.02	186 ±25	8.7 ±0.3	71 ±25	99.9 ±1.2	3.91 ±0.03
3) Transverse Mass	36 ±6	0.98 ±0.02	38 ±15	5.6 ±0.2	27 ±15	4.6 ±0.2	0.59 ±0.01

# Muon channelの解析

# Muon channel



Muon Pt分布



Tau Pt分布

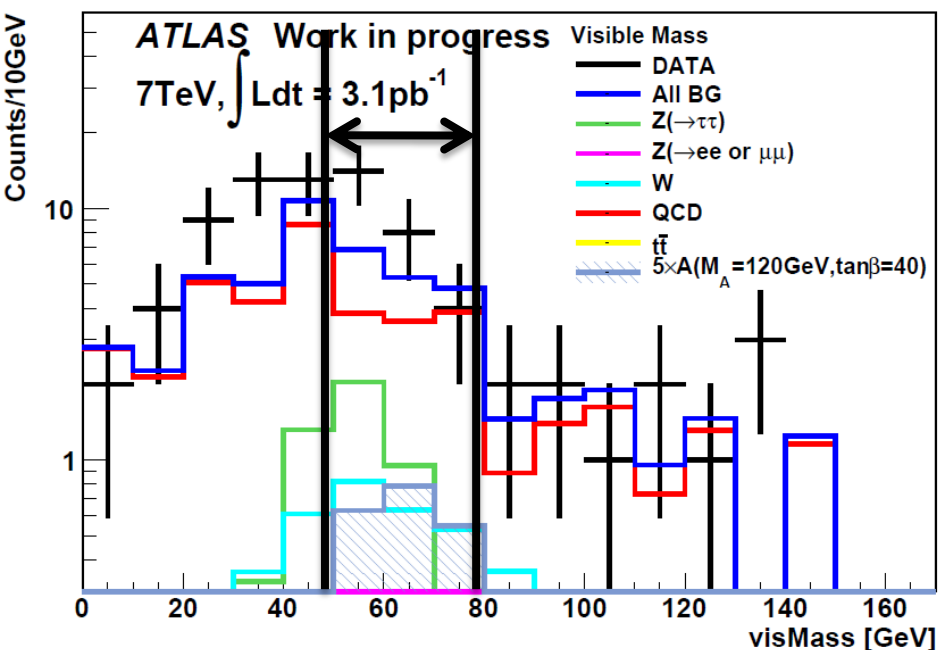
1) Lepton, Tau requirement

2) Missing ET requirement

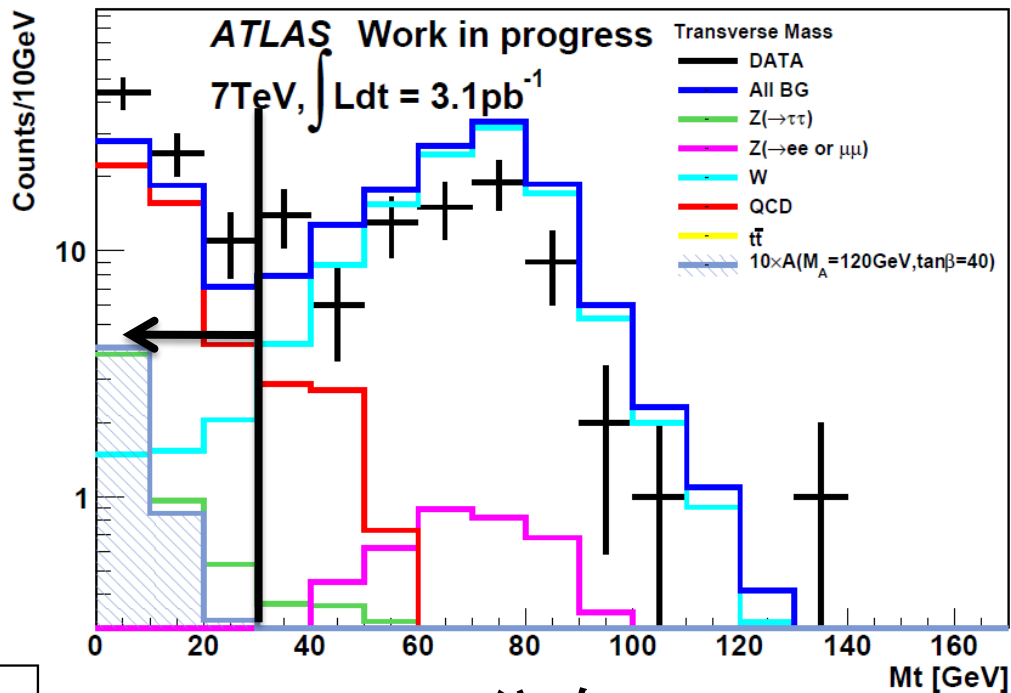
3) Transverse Mass requirement

4) Visible Mass cut

# Muon channel



Visible Mass分布



Mt分布

- 1) Lepton, Tau requirement
- 2) Missing ET requirement
- 3) Transverse Mass requirement
- 4) Visible Mass cut

# Cut flow(Luminosity=3.1pb<sup>-1</sup>)

## Muon channel

Cut	DATA	Signal	All BG	Z	QCD	W	ttbar
1) Lepton Tau req.	713 ±27	3.71 ±0.06	780 ±35	47.3 ±0.7	579 ±35	139.9 ±1.7	4.79 ±0.04
2) Missing ET	161 ±13	1.28 ±0.03	195.9 ±7.2	11.1 ±0.4	48.8 ±7.0	116.0 ±1.6	4.38 ±0.04
3) Transverse Mass	80 ±8.9	1.03 ±0.03	53.7 ±6.3	5.7 ±0.3	41.9 ±6.3	5.1 ±0.3	0.6 ±0.02

- データとMCの統計誤差:大
- 系統誤差の研究中(~20%後述)
- Same sign eventsを用いたData driven BG estimationを行っている。  
Dataとconsistent。  
(Electron chも同様)

# 展望

$$Significance = \frac{Signal}{\sqrt{Background}}$$

Discovery

Significance > 5

Exclude

Significance > 1.96

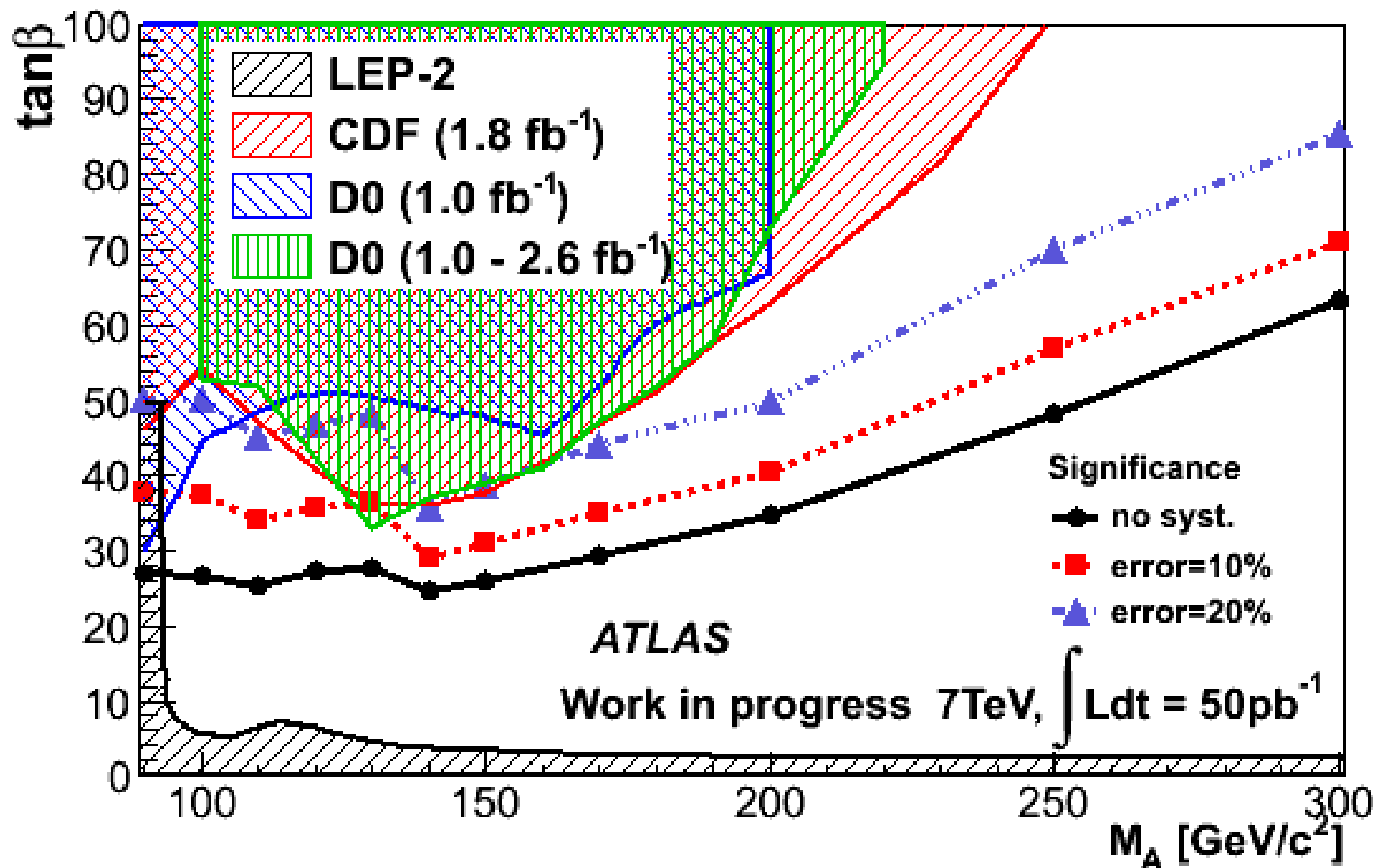
## Systematic Error

Systematic Error	現状	来年(L=1fb <sup>-1</sup> )
Luminosity	11%	5%~10%
e/mu Reconstruction Efficiency	10%	a few %
Tau Reconstruction Efficiency	10%	~5%

更に、その他 JES(7-10%)等によるsystematics errorも含める。

# 今年のRun( $L=50\text{pb}^{-1}$ )における 95% CL. Exclusion

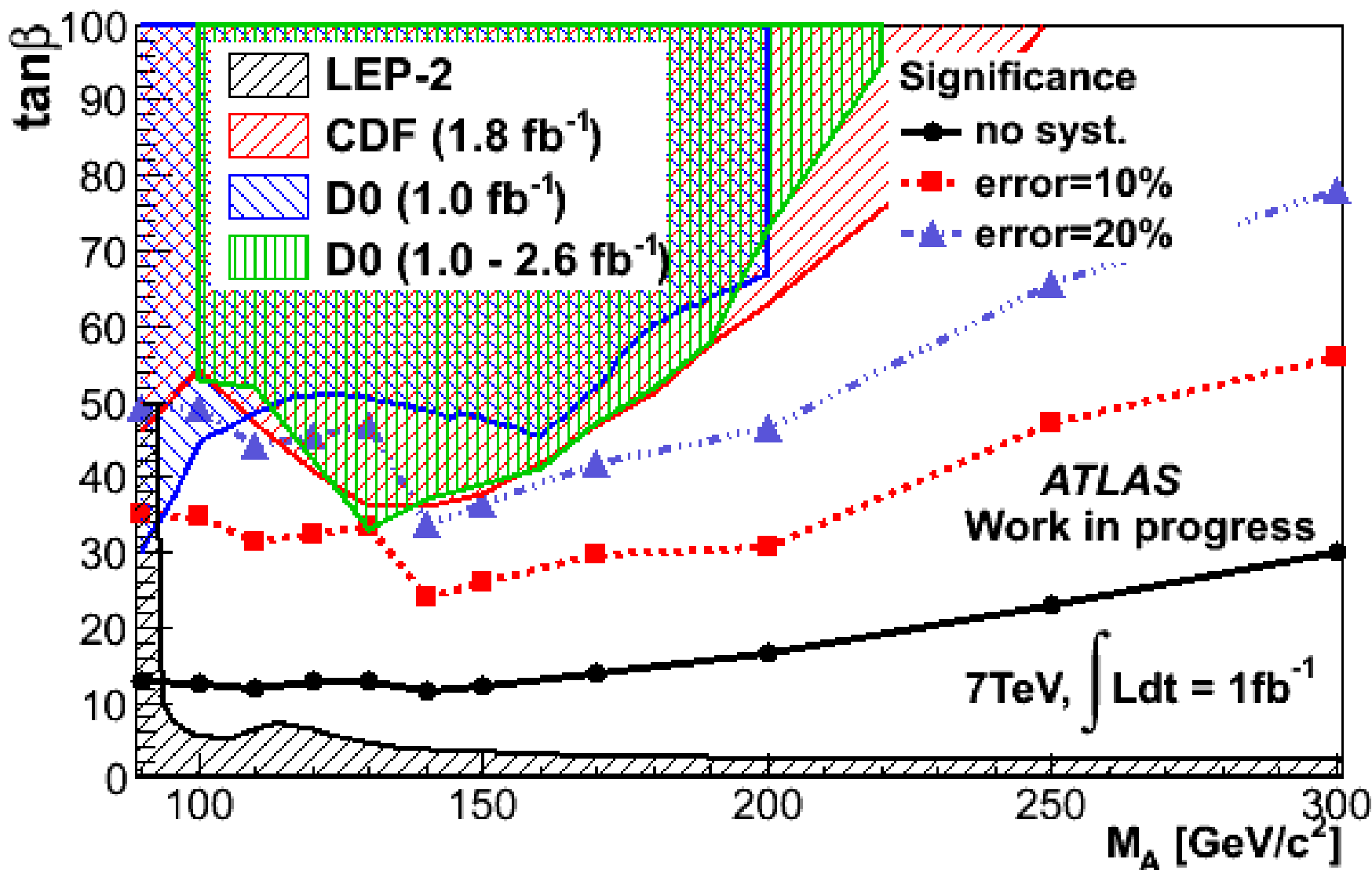
# 今年のRun(L=50pb<sup>-1</sup>) 95% CL. Exclusion



# 来年のRun( $L=1\text{fb}^{-1}$ )における 95% CL. Exclusion

# 来年のRun(L=1fb<sup>-1</sup>)

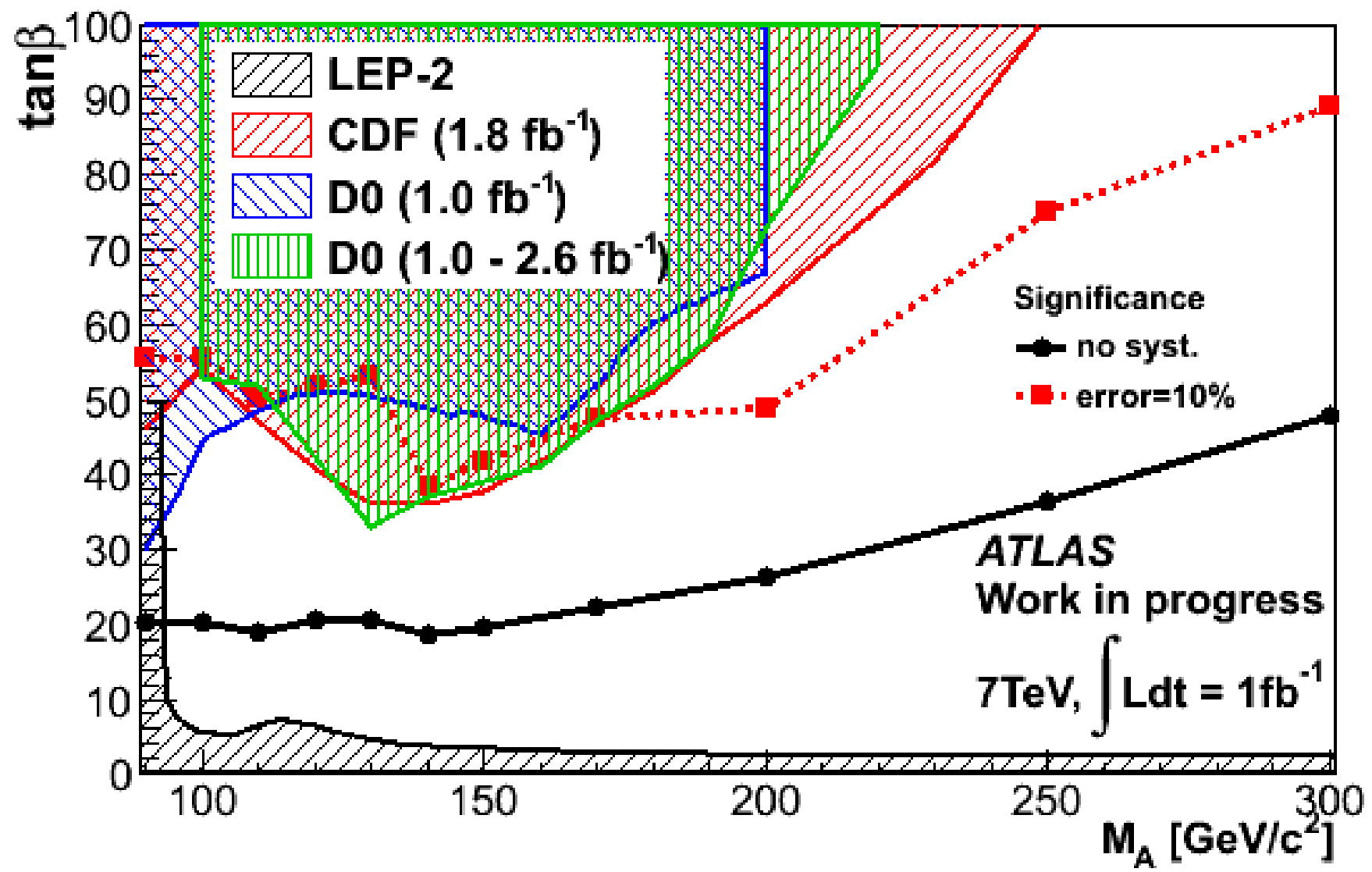
# 95% CL. Exclusion



# 来年のRun( $L=1\text{fb}^{-1}$ )における Discovery Potential

# 来年のRun(L=1fb<sup>-1</sup>)

# Discovery



# まとめ

- 現時点でのDATA( $L=3.1\text{pb}^{-1}$ )を用いて  
MSSM  $h/H/A \rightarrow \tau\tau \rightarrow \text{lep, had}$ の探索を行った。
- DATAとMC SM BGはconsistent。
- 今年のRun( $L=50\text{pb}^{-1}$ )と来年のRun( $L=1\text{fb}^{-1}$ )におけるDiscovery Potentialを示した。  
[ 今年 :  $M_A > 170\text{GeV}$ はExclude可能  
           $M_A < 170\text{GeV}$ はTevatron程度  
来年 :  $M_A$ が高い領域は発見可能  
          ただし、Cut optimizeが必要 ]
- 今後はMCを使わないDATA drivenな  
BG estimationやSystematic Errorの見積もり  
などを行いながら解析を進めたい。